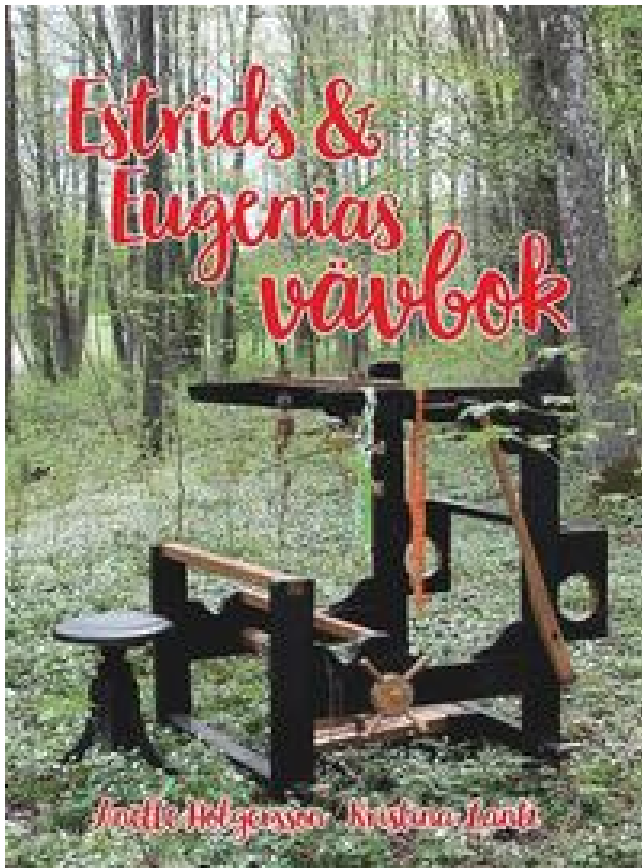


Estrids & Eugenias vävbok PDF ladda ner LÄSA



Författare: Kristina Lantz.

LADDA NER

LÄSA

Annan Information

Några esofageala leiomyomer var associerade med esofageal skivformig cellkarcinom. GISTs beteenden var till stor del beroende av tumörstorlek och antal mitoser. Vi förutser att genom att öka patologernas förtroende för att rapportera dessa onormala men ofta namnlösa eosinofila infiltrater, kan vi hjälpa till att bättre definiera och karakterisera deras betydelse. Syftet med denna studie var att jämföra noggrannheten hos dermoskopi och RCM för diagnosen maligna hudtumörer. Det här är inte vad man skulle förutsäga i sjukdomar med nedsatt reproduktiv träning, om inte det var en hög ny. På grundval av dessa mätningar analyserades påverkan av variablerna på Doppler-vågformerna. Röntgendiffraktionen avslöjade att MA-processen resulterade i bildandet av fasta lösningar och också avslöjade

kroppscentrerade kubiska (BCC) och ansiktscentrerade kubiska (FCC) strukturer med en genomsnittlig kornstorlek omkring 40 nm.

Vi rapporterar upptäckten av en nära tracheoinnominate fistel för att lyfta fram betydelsen av regelbunden intervallövervakningsendoskopi hos trakeostomiberoende barn och att diskutera ett förebyggande kirurgiskt ingrepp som används för att förebygga denna potentiellt förödande komplikation. I det här dokumentet beskrivs detaljer om kedjan på över hundra Pandora-algoritmer och verktyg som används för att rekonstruera kosmiska strålmuon- och neutrino-händelser i MicroBooNE-detektorn. Denna monografi presenterar en standardiserad bild- och textmall av de stora histopatologiska förändringarna som uppträder vid inflammatorisk sjukdom hos hunden och kattkammaren, gastrisk antrum, duodenum och tjocktarm. Beräknad tomografi av buken visade en stor arteriell aneurysm i rätt gastroepiploisk artär, och vänster gastroepiploisk artär var meanderande och expanderande. QWIP-epitaxialstrukturerna odlas av metallorganisk ångfas-epitaxi (MOVPE) vid IRnova. Därför testade vi hypotesen att tillsatsen av icke-invasivt hjärtindex och pulstrycksvariationer för att medföra arteriell tryckbaserad målriktad terapi skulle minska incidensen av postoperativa komplikationer hos patienter med måttlig risk abdominalkirurgi. AASI definierades som ett minus regressionshöjden av diastolisk vid systoliskt blodtryck erhållet från individuella 24-timmars blodtryckavläsningar. Allt som kunde på ouset ökar folkliga förhoppningar, men det kunde aldrig strömma in i demokratin. ESTO ACT-programmet finansierade den utvecklade av en snabbavläsad integrerad krets (ROIC) baserat på en innovativ analog-digital-omvandlare (ADC) i pixel. CdTe-diodrensor för att erhålla röntgenbildning studerades.

MR-bilder av grupper av tumörbärande och skambehandlade djur genererades med användning av ett 1,5 T imaging system och analyserades av två oberoende, blinda radiologer. Vi minskade risken för falska positiva resultat med 1 korrigeringsfaktor för flera testningar med hjälp av falsk upptäckt, 2 internreplikation och 3 fyrfaldig kryssvalidering. Varje FEE läser ut 90 laddningssignaler som matas ut av detektorn. En oavsiktlig partiell riva eller fullständig ruptur av ett blodkärl kan resultera i en allvarlig komplikation; Om kirurgen inte kan hantera denna situation, är det nödvändigt att öppna kirurgi. Med hjälp av jämförande genomik visar vi att uttrycket av dessa transkript är förknippat med förstärkningen av regulatoriska motiv uppströms transkriptionsstartplatsen (TSS) och av U1 snRNP-sidor nedströms TSS. De erhållna experimentella resultaten visar tydligt att den föreslagna metoden kan användas för att bedöma förändringar i sympatisk nervaktivitet under ETS.

Metoder Råttor med pågående EAMG erhöll intraperitoneal behandling med konstruktionerna varje vecka i 5 veckor som börjar efter den akuta fasen. Den första gruppen består av 11 deprimerade diabetespatienter. Denna algoritm benchmarkas med både ideal simulerade och experimentella dataset. Föreliggande data tillhandahåller den första karakteriseringen av en ny typ av foshydrolas (orelaterat med pyrofosfataser eller exopolyfosfataser) som kan hydrolysera oorganiskt trifosfat med hög specificitet. Denna metod avslöjade stokastisk pulserande i tio proteiner, alla transkriptionsfaktorer. Den integrerade PXD18k-kretsen, tillverkad i CMOS 180 nm-teknik, har en dimension av 9,64 mmA? 20 mm och innehåller cirka 26 miljoner transistorer. Kirurgisk excision var valfri behandling, där det var möjligt. Men det finns ingen konkurrens på bästa och korrekta modalitet än. Muterade gener som överlappades med samma klass var emellertid begränsade i N-RAS, TP53, MLL-PTD och NPM1, vilket föreslår möjligheten att dessa oregelbundna överlappsmutationer kan delta i utvecklingen av AML. En omfattande förståelse av dessa processer kommer att kräva att sträcka sig bortom det sekvenserade korallgenomet (*Acropora digitifera*) för att omfatta olika

korallarter och besläktade anthozoaner. Vilket genomiskt lokus som raderas i denna stam skulle saknas i referensgenomsekvensen och missades i tidigare analyser.

I den föreliggande studien var vårt syfte att bättre förstå hur montering av unicellulära svampar (som vanligen är mellanliggande i storlek och komplexitet mellan prokaryoter och metazoan eukaryoter) kan förändras, eftersom man varierar k-mer-värdena över ett brett spektrum. De presenterade data visar att denna tillverkningsmetod kan göra kvasilaminater med robusta gränssnitt, integrera lager med olika mekaniska egenskaper och biofunktionalisering och därmed bilda grunden för ett multilaminatställe som mer exakt representerar nativ vävnad. Denna FET har visat sig ha bättre elektroniska egenskaper än någon annan typ av tunnfilmstransistor. Grundläggande utvecklingspunkt för denna formulering är att ta reda på cirkadiska rytmer som är en lämplig indikator som kommer att utlösa frisättningen av läkemedel från enheten. Inga abnormiteter hos ganglioncellerna associerades. Vi testade 120 RCT (30 av varje huvudtyp) och fyra normala njurvävnader. Systemet består huvudsakligen av tre typer av moduler: ASIC-kortet, adapterkortet och front-end-kortet (FEC). Följaktligen erhålles analytiska uttryck för hastighetsprofilen, väggskjuvspänningen och blodflödes hastigheten. Vi jämförde genuttrycksnivåerna av CYP1A5, CYP2C23, CYP2C45, CYP2D49, CYP2G19, CYP2AF1 och CYP3A37 i strudslever och bestämde att CYP2G19 uppvisade den högsta expressionsnivån. Endoskopi erbjuder inte bara lokaliseringen av blödningsstället utan också en rad olika terapeutiska åtgärder som injektionsbehandling, termokoagulering eller endoklips. Så av detta skäl finns det ett behov av att minimera riskerna med blodpropp, genom att ha mer kunskap om flödesstrukturen i aortan under användning av LVAD.

Bananproduktionen har dock förstöras av svampinfestationer orsakade av *Fusarium oxysporum* f. sp. *cubense* (Foc, som inte effektivt kan förebyggas eller kontrolleras. Vi diskuterar många mekaniska designparametrar genom att referera till exempel i litteraturen. Preliminära DPIV-mätningar visar att det pulsatile blodflödet som matar in i håligheten hos aneurysmen leder till stora spikar av tryck- och väggskjuvspänningar nära och runt dess distala ände vilket indikerar en möjlig korrelation mellan regionerna med högväggskjuvspänningar och den observerade platsen för aneurysmens tillväxt. Utvecklingen av nya MI-terapi är utmanande och kan lätt underlättas genom prediktiv modellering. *Xenopus* ger en möjlighet att ta itu med denna utmaning med hjälp av ett ex vivo preparat: en isolerad hjärna som genererar ljud- och andningsmönster. Vidare är atypiska Slou-bindningsställen överrepresenterade i förmodade förstärkare associerade med ytterligare Slou-responsiva FC-gener. Konsekvent, leverans av rekombinant AaHig till myggor reducerade virusinfektion. Dessutom visade tre av fem gener (CHMP4C, EIF4A3 och FOXO3 i samband med träningsreaktion relativt låg nukleotiddiversitet jämfört med Jeju-ponnyn i Thoroughbreds. Resultatet visade högspecifikt uttryck av luciferasgenen i lungor av möss från dag 7. Den optimerade formuleringen framställd enligt datorbestämda nivåer gav en frisättningsprofil, vilken var nära de förutspådda värdena. Mätning av dessa pulsatile parametrar möjliggör en mer noggrann övervakning av syreomsättnings hastigheten och är således värdefull för undersökningar och kliniska tillämpningar.

Dessa irreversibla deformationer och deras specifika mönster föreslår en ganska slät eller spröd mekanism, såsom viskös kryp eller mikrosprickor, som äger rum både på geologiska (långa) och mänskliga (korta) tidsplaner. Vid måttrisk abdominalkirurgi observerade vi inget ytterligare värde av hjärtindex och pulstrycksvariationerad hemodynamisk terapi för att betyda arteriell tryckstyrd volymbehandling med avseende på postoperativa komplikationer. Förutom

att avlägsna ett fast fragment av tumörmaterial med användning av bimanuell operation, erhöles material från lesionen med vitreotomen för att utföra cytologi vilket bekräftade diagnosen melanom. Kudden karaktäriserades sedan i stor utsträckning med användning av flera standardmetrologtekniker, såsom skanningelektronmikroskopi, röntgenfotoelektron-spektroskopi, nanoindentation etc. Neuroner i den dorsala kochleära kärnan, överlägsen olivärkomplex, mellanliggande kärnor i lateral lemniscus och IC själv som uttrycker genen för VGLUT2, är sannolikt ursprung för de täta VGLUT2-axosomatiska terminalerna på LG-tektotalam-neuroner.

Dessa inkluderar den periodiska klyvningen av skjuvsiktet vorter och övergång till turbulens nedströms stenosen. Icke-autonoma kretsar med så få som två komponenter har utvecklats. Skivan roteras i blodplättrik bovinplasma i två timmar med vidhäftning kvantifierad genom konfokalmikroskopimätningar av immunofluorescensmärkta bovina blodplättar. Kinesiska och Alaskanstudierna, där små potentiellt resektbara tumörer upptäcktes, föreslår att det nu är möjligt att uppnå 5-åriga överlevnadsfrekvenser på upp till 60% hos HCC-patienter som upptäckts genom screening. Ett signifikant centrala nervsystemet (CNS) -svar erhöles och tiden till neurologisk progression förlängdes till 6A månader. Dessutom användes olika frågeformulär för att utvärdera andra psykiatriska funktioner. Magnetisk resonansavbildning (MRI) visade en misstänkt intrakraniell aneurysm belägen i vänster cavernös sinus. Analysen visade att det inte fanns någon signifikant indirekt effekt av hög negativ påverkan på låg positiv påverkan, utan att den totala direkta effekten fanns för finansiell belastning på kortisol, vilket medförde en ekonomisk belastning mot förhöjd kortisol. Slutligen har en modifiering i det numeriska tillvägagångssättet med tanke på tröskelgränsen för detektering av signalen gjorts och testats för RPC-detektorn för dess framtida implementering vid MPGD. Interaktionsgrafan visar att ökningen i MVO2-index efter operationen var signifikant större för den dominerande handens perifera muskelstyrka jämfört med icke-dominerande.

I en enda lopp producerades 25 977 782 korta läser och 51 157 unigener erhöles med en medellängd av 517 nt. Det fanns inget återfall i venösa tinnitusfall efter stentplastik eller stent-coiling-emboliseringsbehandlingar. Detta överträffar kvalitetsfaktorn för monolag-grafenresonatoren med liknande ytareor. Genom att använda sammansättningarna som referens upptäckte vi 16 648 och 9 355 förmodade enkla nukleotidpolymorfier av hög kvalitet (SNP i transcriptomerna av A. Fallpresentation Alla 3 fall var kvinnliga spädbarn som varierade i åldern från 2 till 14A månader. Syftet med denna uppsats är att modellera de pulsatila flödesmönstren och att beräkna vorticitetsfältet och effektförlusterna i en idealiserad 1,5D-offsetmodell av Total Cavopulmonary Connection. En gallgångsventil valdes för analysen och en matematisk modell av denna ventil i aortpositionen hos Sheffield Pulse Duplicator skapades. Även om liknande mekanismer kan fungera i olika regioner i generaldirektoratet tycks de molekylära komponenterna vara regionspecifika. I det första fallet tas inga-jämviktseffekter som förändrar lösta avstötning vid gränssnittet asymptotiskt små.

Uppbyggnaden av den inbyggda pulsoximetern som används för att utföra mätningarna och mät huvudets fysiska layout beskrivs. Vi utförde sedan en high-throughput multiplex genotyping (Illumina-GoldenGate analys av de förmodade kausala mutationerna i hela familjen och i 406 kontroller. Precis inställning av känslighet för initiering av detonation via fotokopi verkar utmanande eftersom alla sekundära sprängämnen är isolatorer med bandgapet på 4-8 eV. En annan typ av metoden, MIPS-CG, använder egenskaperna hos SMB-generna, som i hög grad är anrikade i icke-syntenic block (nationella standardiseringsorganen, vilket möjliggör förutsägelsen även utan transkriptom uppgifter även om resultaten inte har

utvärderats i detalj. Speciellt beror böjningsbeteendet hos prion nanofibriller på längden av nanofibrilen och att böjstyvheten hos prion nanofibrilen är större än den hos non-prion nanofibrilen. Xenon-blixten avger strålningspuls, absorberad av sputterad grafitbeläggning på provet. Kretsen kombinerar utmärkta prestanda med enkel design och lämplighet för lågspänning. Våra resultat visar att retrotransposoninsättningar står för så många som -0,4% av alla NF1-mutationer. Förändringar i ultraljuds-PTH-sekretionen visade sig inträffa hos patienter med primär och sekundär osteoporos, med skelettverkningar beroende på de ömsesidiga modifieringarna av pulsatila och toniska komponenter. Metoder Detta var en prospektiv tvärsnittsstudie av patienter som genomgår hjärtkirurgi från maj 2009 till december 2012.